

铈的 α -噻吩甲酰三氟丙酮-哌啶配合物与 DNA 的键合研究

张改清^{1,2} 阴彩霞^{*2} 霍方俊³ 吴艳波² 杨 频^{*2}

(¹吕梁高等师范专科学校化学系, 吕梁 033000)

(²山西大学分子科学研究所, 山西大学化学生物学与分子工程教育部重点实验室, 太原 030006)

(³山西大学应用化学研究所, 太原 030006)

摘要: 合成了 α -噻吩甲酰三氟丙酮-哌啶合铈(CeTTA₄·HP)配合物, 测定其晶体结构, 并用紫外光谱、荧光光谱、热变形、电化学、粘度和理论模拟研究了配合物与 DNA 的键合特性。结果表明: 化合物与 DNA 以插入模式进行作用。

关键词: α -噻吩甲酰三氟丙酮-哌啶合铈(CeTTA₄·HP); 配合物; 晶体结构; 光谱; 键合特性

中图分类号: O614.33⁺² 文献标识码: A 文章编号: 1001-4861(2009)05-0428-05

DNA-Binding Spectra Studies of Complex Ce(III) with 2-Thenoyltrifluoroacetone-Piperidine Ligands

ZHANG Gai-Qing^{1,2} YIN Cai-Xia^{*2} HUO Fang-Jun³ WU Yan-Bo² YANG Pin^{*2}

(¹Department of Chemistry, Lüliang Teachers College, Lüliang, Shanxi 033000)

(²Institute of Molecular Science, Key Lab of Chemical Biology and Molecular Engineering(MOE),
Shanxi University, Taiyuan 030006)

(³Research Institute of Applied Chemistry, Shanxi University, Taiyuan 030006)

Abstract: A kind of Ce(III) complex with TTA₄·HP (TTA = 2-Thenoyltrifluoroacetone, HP = Piperidine) has been synthesized and characterized. DNA-binding properties of CeTTA₄·HP were investigated using UV spectra, fluorescent spectra, thermal denaturation, CV(cyclic voltammetry), viscometry and molecular modeling. The results showed that the binding-mode between CeTTA₄·HP and DNA is intercalation.

Key words: 2-thenoyltrifluoroacetone Ce(III); complex; crystal structure; spectra; DNA-binding properties

近年来, 对小分子与核酸等生物大分子的作用研究, 一直是热门的研究领域^[1~6]。金属配合物与 DNA 作用时, 常会诱发许多化学和生物效应, 因此它可作为 DNA 结构和构象探针, 并为选择配合物类抗癌药物提供理论指导。小分子配合物与 DNA 作用是通过一系列弱相互作用进行: 如在碱基对之间芳杂环基团的插入, 由此产生 π -堆积作用从而稳定 DNA; 通过形成氢键和范德华力与 DNA 的双螺旋沟结合; 配合物阳离子与 DNA 中磷酸基团的氧负离子静电结合。配合物与 DNA 相互作用, 会引起各自的

性质变化, 借助适当的实验手段对其研究, 可以准确的阐明其作用机理。稀土- α -噻吩甲酰三氟丙酮-哌啶配合物早在 20 多年前就被合成^[7,8], 并给出了其中一些配合物的 X 射线晶体结构分析结果^[8]。然而, 人们多数的兴趣集中于把它们作为发光材料、生物组织探针和核磁位移试剂^[9,10], 且对这些方面, 从实验上和理论上研究都较多^[11,12]。本文通过 X 射线衍射表征了铈的 α -噻吩甲酰三氟丙酮-哌啶配合物结构, 并用紫外光谱、荧光光谱、热变形、电化学、粘度和理论模拟等手段, 研究了其与小牛胸腺 DNA 的结合机制。

收稿日期: 2008-09-01。收修改稿日期: 2008-12-15。

国家自然科学基金(No.20801032)、山西省归国基金(2008)资助项目。

*通讯联系人。E-mail:yincx@sxu.edu.cn; yangpin@sxu.edu.cn

第一作者: 张改清, 女, 32岁, 讲师; 研究方向: 生物无机化学, 结构化学。

1 实验部分

1.1 仪器和试剂

Beckman Φ50 精密 pH 酸度计; Hewlett Packard HP-8453 紫外光谱仪; 微量进样口和微量进样枪, PO-120 石英比色皿; Hitachi F-2500 荧光光谱仪, 激发波长为 267 nm, 扫描速度为 1 500 nm·min⁻¹, 记录发射波长范围 283~560 nm, 狹缝宽度 $E_x=E_m=10$ nm; CHI-660B 电化学工作站, 电解池采用三电极体系, 热解石墨电极为工作电极(EPG), 铂丝为辅助电极, 饱和甘汞电极(SCE)为参比电极, 所有电化学测量均在 10 mL 的电解池中进行, 溶液通过通入 N₂ 除去氧气, 电极表面滴加 2 μL CT DNA(7.77 mmol·L⁻¹) 溶液, 于空气中晾干, 再用二次蒸馏水冲洗干净; Bruker SMART 5.0 CCD X 射线四圆衍射仪; 化合物和 CT DNA 的键合模式采用 Insight~ II 软件包在 SGI 工作站开展。

CeTTA₄·HP 按文献^[11]方法合成, CTDNA 购自华美公司, 不需要进一步纯化, 其它试剂均为分析纯试剂。缓冲溶液: 5 mmol·L⁻¹ Tris-HCl/50 mmol·L⁻¹ NaCl, pH7.2, 用于配合物与 CT DNA 的光谱研究, 所有的溶液均用二次蒸馏水配制。

1.2 晶体结构测定

取 0.4 mm×0.2 mm×0.2 mm 红色晶体置于 Bruker SMART 5.0 CCD X 射线四圆衍射仪圆心位置, 用石墨单色化的 Mo Kα($\lambda=0.71073$ nm) 辐射为光源, 在 $2.35^\circ \leq \theta \leq 25.01^\circ$ 范围内, 以 $\omega/2\theta$ 扫描方式, 在 298(2)K 下收集到 12189 个衍射点, 其中 4910 个为独立衍射点。晶体结构由直接法(SHELXS97)解

出, 初始结构经全部矩阵最小二乘法做数轮修正, 找出全部非氢原子坐标, 确认残余峰不再有非氢原子后, 做各向异性温度因子处理。C 原子和 N 原子上的氢由差值 Fourier 合成给出。最终偏差因子 $R_1=0.0950$, 晶体属单斜晶系, 空间群 $P2/n$, $a=13.996(3)$ nm, $b=11.071(2)$ nm, $c=14.579(3)$ nm, $\beta=94.96(3)$ nm, $Z=2$, $V=2250.5(8)$ nm³, $D_x=1.625$ Mg·m⁻³, $\mu=1.294$ mm⁻¹, $F(000)=1082$, $S=1.075$ 。

2 结果与讨论

2.1 晶体结构

由于晶体生长速度太快, 哌啶上的 C 原子无序, 晶体数据参数见表 1。因为晶体质量不好, 我们看到高的 R 值(0.0950), 但是 Ce-O 键长很规则。在给出的图 1 中, 为了给出一个清晰的结构图, 氢原子

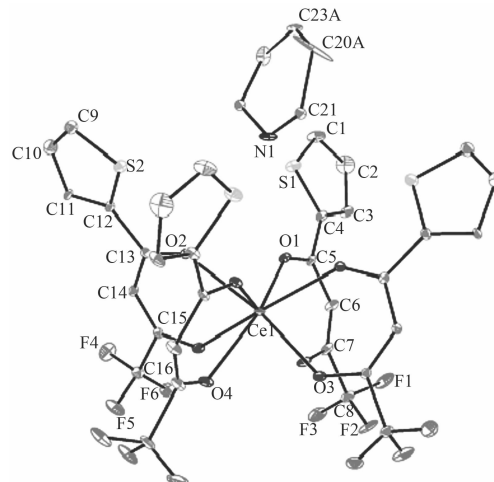


图 1 化合物的晶体结构

Fig.1 Crystal structure of CeTTA₄·HP

表 1 配合物的晶体学数据

Table 1 Crystallographic data and structure refinement parameters of complex

Crystal	CeTTA ₄ ·HP	Empirical formula	C ₃₇ H ₂₈ CeF ₁₂ NO ₈ S ₄
Formula weight	1110.92	T / K	298(2)
Crystal system	Monoclinic	Space group	P2/n
a / nm	1.3996(3)	V / nm ³	2.2505(8)
b / nm	1.1071(2)	Z	2
c / nm	1.4579(3)	θ / (°)	2.35~25.01
β / (°)	9.496(3)	F(000)	1 082
D / (g·cm ⁻³)	1.625	Size / mm ³	0.40×0.20×0.20
Index ranges	-16≤h≤14 -10≤k≤13 -16≤l≤17	R[I>2σ]	$R_1=0.0950$, $R_{w2}=0.2327$
Absorption coefficient / mm ⁻¹	1.294	R(all data)	$R_1=0.1495$, $R_{w2}=0.2688$
R_{int}	0.0598	Largest diff. peak and hole / (e·nm ⁻³)	883, -458

被忽略。从晶体结构看, 味啶离子通过强的 $\text{N}^+\text{H}_2\cdots\text{O}$ 氢键作用基于 $\text{N}\cdots\text{O}$ 距离 3 nm。这个作用很强, 使得化合物在溶液中是稳定存在而不被解离。

2.2 紫外光谱

电子吸收光谱是研究金属化合物和 DNA 之间键合模式的有效方法^[13-15]。如果键合模式是插入, 插入的配体的 π^* 能与碱基对偶合, 这样降低了 $\pi\rightarrow\pi^*$ 跃迁能导致了增色效应。另一方面, 偶合的 π 轨道部分被电子填满, 这样降低了跃迁几率伴随有减色效应^[16]。“增色效应”和“减色效应”都是涉及 DNA 双螺旋的光谱特征。光谱的变化反应了 DNA 被药物键合后构型和结构的变化。减色效应来自于 DNA 双螺旋的收缩以及构型的变化, 然而增色效应来自于 DNA 双螺旋的破坏^[17]。图 2 是在 260 nm 处, CeTTA₄·HP 浓度的变化与 DNA 之间的一系列反应。如图所示, 随着 CeTTA₄·HP 浓度的增加, DNA 的吸收在增加, 这是典型的“增色效应”。结果表明: 在化合物与 DNA 作用后, DNA 双螺旋结构得到破坏。初步认为化合物与 DNA 之间存在插入作用。

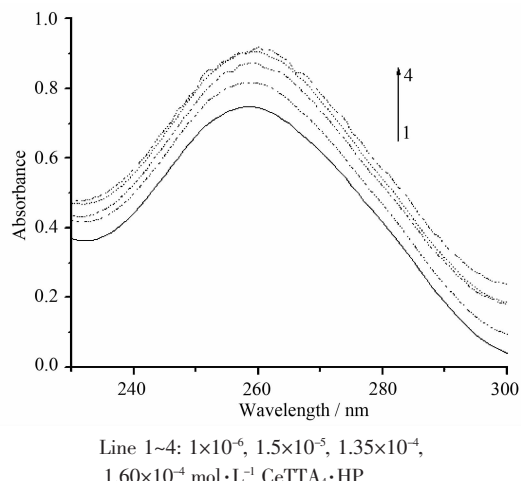


图 2 CT DNA 的紫外变化图

Fig.2 UV spectra of CTDNA with increasing of [CeTTA₄·HP]

2.3 荧光光谱

已知 EB 常用作 DNA 结构检测探针^[18]。化合物 CeTTA₄·HP 自身在 536 nm 处有荧光, 因此在 DNA 的存在下, 可以通过化合物 CeTTA₄·HP (2.5×10^{-5} mol·L⁻¹) 在 536 nm 处的荧光减弱或者增强直接检测 DNA。图 3 是化合物 CeTTA₄·HP 随着 DNA 浓度增加荧光发射谱的变化, 我们发现化合物在 536 nm 处的荧光强度在逐渐增加。这种现象表明化合物和 DNA 之间存在插入模式。因此, 推断 CeTTA₄

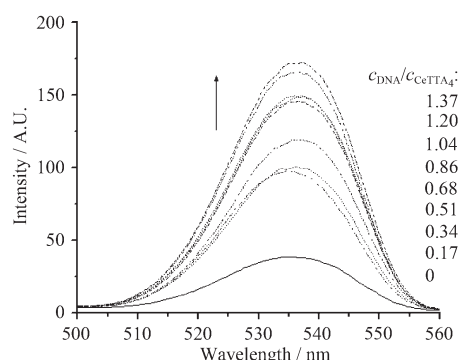


图 3 化合物的荧光变化图

Fig.3 Fluorescence emission spectra(excited at 267 nm) of CeTTA₄·HP complex with increasing concentrations of DNA

插入到 DNA 双链的碱基对导致荧光增强^[19,20]。

2.4 热变形

关于化合物和 DNA 之间的键合强有力的证据还可以通过 DNA 熔点的研究获得。小分子插入到 DNA 双链明显增加了 DNA 的熔点: 双链变成单链的 DNA^[21,22]。DNA 在 260 nm 消光系数, 双链结构小于单链结构^[23,24], 因此, 螺旋的熔化导致在此波长处吸收的增强。这样, 螺旋到缺刻转化的温度可以通过测定 DNA 在 260 nm 的吸收确定, 这个温度叫熔点(T_m)。然而, 如果 T_m 有轻微的增加($\Delta T_m < 0.6$ °C), 则说明小分子与 DNA 的磷酸骨架之间存在非特异静电作用^[25]。在化合物存在和不存在下 DNA 的熔点曲线显示在图 4 中。单独的 DNA 的熔点是 80 °C(a), 有化合物存在下 DNA 的熔点为 85 °C。因此, 我们可以推断 CeTTA₄·HP 与 DNA 通过插入方式作用。

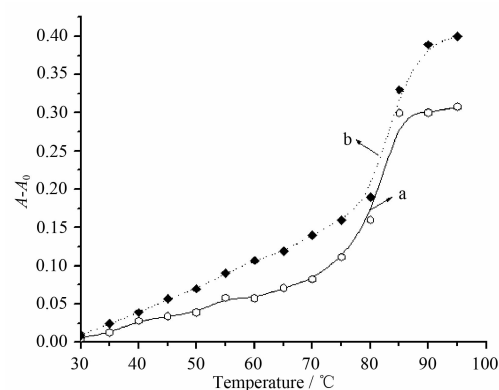


图 4 在化合物存在下 DNA 的紫外熔点曲线

Fig.4 UV melting curves recorded at 260 nm for DNA in the absence (a) and presence of CeTTA₄·HP(b)

2.5 电化学

图 5 是化合物 CeTTA₄·HP 在裸石墨电极 EPG

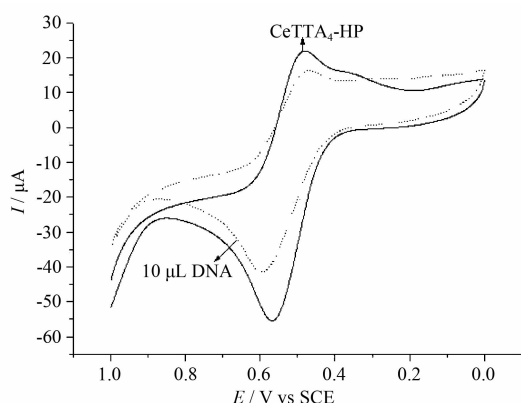


图5 化合物与DNA作用的CV图

Fig.5 CV curves of CeTTA₄·HP in present of EPG and DNA/EPG

(实线)和DNA/EPG(虚线)的循环伏安图。在裸石墨电极上,阳极峰电位 E_{pa} 和阴极峰电位 E_{pc} 分别为0.568 V和0.479 V(对饱和甘汞电极)。阳极峰和阴极峰电位相差89 mV,这表明存在一个准可逆的氧化还原过程。在裸电极上,式量电位 $(E_{pc}+E_{pa})/2$ 为0.523 V。同样浓度的CeTTA₄·HP与在裸EPG上的峰电流相比,在DNA/EPG上有一个向正极轻微的移动($c_{DNA}=4\times 10^{-5} \text{ mol}\cdot\text{L}^{-1}$)。在化合物与DNA的3种键合模式中,Bard^[26]曾经报告说,当小分子插入到DNA时, $E_{1/2}$ 会向正向移动,表明两者之间存在插入作用。

2.6 粘度研究

粘度测定一般被认为是确定键合模式最有力的证据之一。水合动力参数反映了由于插入,碱基对的距离会增大,导致DNA螺旋伸长。图6显示了比较粘度的结果和化合物与DNA之间键合模式的关系^[27,28]。图中显示DNA的粘度随着化合物与DNA的物质的量比率增加而增大。

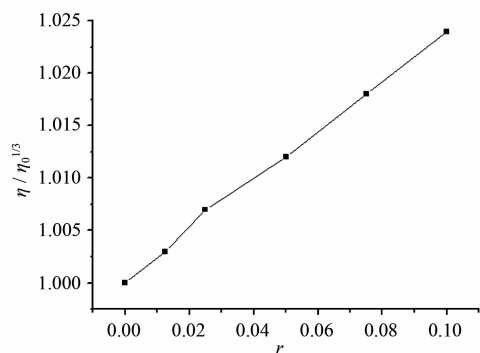


图6 在化合物存在下DNA的粘度图

Fig.6 Effect of the increasing concentration of bound ligand on the relative viscosity of DNA

2.7 理论模拟

模拟结果揭示了化合物和DNA之间存在插入模式(不包括哌啶),芳香噻吩基团在DNA大沟处插入,化合物和DNA之间存在经典的插入作用。图7显示,化合物的主要部分停留在DNA的大沟,噻吩基团已经插入到DNA的碱基堆。

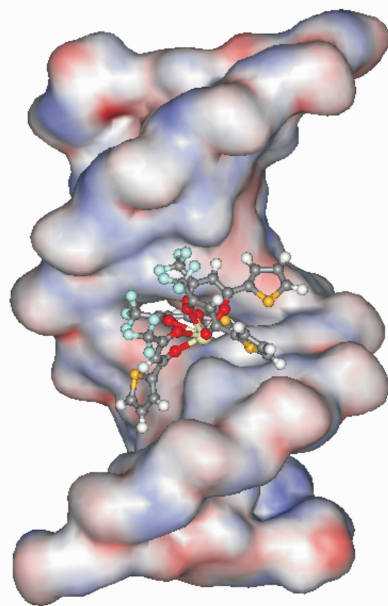


图7 化合物与DNA选择的键合模式

Fig.7 Optimized binding mode of complex-DNA association

本文合成了CeTTA₄·HP并通过X射线衍射对其结构进行了表征,利用紫外、荧光、热变形、电化学、粘度和理论模拟等多种手段研究了化合物与DNA相互作用。综上所述,可以初步推断配合物和DNA之间以插入方式作用。

参考文献:

- [1] Mokhir A A, Kraemer R. *Bioconjugate chem.*, **2003**, *14*(5): 877~883
- [2] Cheng C C, Fu W C H, Hung K C, et al. *Nucl. Acids. Res.*, **2003**, *31*(8):2227~2233
- [3] Liu F, Wang K, Bai G, et al. *Inorg. Chem.*, **2004**, *43*(5):1799~1806
- [4] Wu T Z, Yuan L J. *Inorg. Biochem.*, **2004**, *98*(1):41~45
- [5] Liu J, Mei W J, Lin L J, et al. *Inorg. Chim. Acta*, **2004**, *357*(1):285~293
- [6] Tse W C, Boger D L. *Acc. Chem. Res.*, **2004**, *37*:61~69
- [7] XU Gung-Zhi(徐广智), SUN Jia-Bin(孙家镔), LIANG De-Sheng(梁德声), et al. *Chinese Science Bulletin (Kexue)*

- Tongbao), **1982**,**27**:768
- [8] DOU Shi-Qi(窦士琦), ZHONG Na-Tian(钟纳天). *Chinese Science Bulletin(Kexue Tongbao)*, **1983**,**28**:1151
- [9] Gschneidner K A Jr, Byring L. *Handbook on the Physics and Chemistry of Rare Earths, Vol 3 and 4*, Amsterdam, New York, Oxford: North-Holland Publishing Company, **1979**.
- [10] SUN Jia-Bin(孙家镔), CHEN Shi-Di(陈式棣), WANG Pei-Lan (王培兰). *Chem. J. Chinese Universities (Gaodeng Xuexiao Huaxue Xuebao)*, **1983**,**4**(3):385-389
- [11] YANG Pin(杨频), WANG Yue-Kui(王越奎). *Science in China, Series B(Zhongguo Kexue, B Ji)*, **1986**,**9**:912~924
- [12] YANG Pin(杨频), WANG Yue-Kui(王越奎). *Acta Chimica Sinica(Huaxue Xuebao)*, **1986**,**44**:14~21
- [13] Barton J K, Raphael A L. *J. Am. Chem. Soc.*, **1984**,**106**:2172~2176
- [14] Kelly T M, Tossi A B, McConnell D J, et al. *Nucleic Acids Res.*, **1985**,**13**:6017~6034
- [15] Tysoe S A, Morgan R J, Baker A D, et al. *J. Phys. Chem.*, **1993**,**97**(8):1707~1711
- [16] Pyle A M, Rehmann J P, Meshoyrer R, et al. *J. Am. Chem. Soc.*, **1989**,**111**:3051~3058
- [17] Li Q S, Yang P, Wang H F, et al. *J. Inorg. Biochem.*, **1996**,**64**:181~195
- [18] Yang J, Ma J F, Liu Y C, et al. *J. Mol. Struct.*, **2003**,**646**:55~60
- [19] Biver T, Secco F, Tinè M. R, et al. *J. Inorg. Biochem.*, **2004**,**98**:33~40
- [20] HE Zhong-Xiao(何忠效), GU Yu(顾郁). *Science in China Series B(Zhongguo Kexue, B Ji)*, **1989**,**12**:1257~1262
- [21] Li Y Q, White J, David S, et al. *Biotechnol. Prog.*, **2001**,**17**:348~354
- [22] Zeynep D, Ralph P, Jan A R S, et al. *J. Am. Chem. Soc.*, **2004**,**126**:4762~4763
- [23] Thierry D. *J. Photochem. & Photobio. B: Biology*, **2006**,**82**:45~52
- [24] Silvestri A, Barone G, Ruisi G, et al. *J. Inorg. Biochem.*, **2004**,**98**:589~594.
- [25] Foloppe M P, Rault S, Thurston D E, et al. *J. Med. Chem.*, **1996**,**31**:407~410
- [26] Carter M T, Bard A J. *J. Am. Chem. Soc.*, **1989**,**111**:8901~8911
- [27] Satyanarayana S, Dabrowiak J C, Chaires J B. *Biochemistry*, **1992**,**31**:9319~9324
- [28] Sigman D S, Mazuder A, Perrin D M. *Chem. Rev.*, **1993**,**93**:2295~2316